



Università degli Studi di Milano-Bicocca  
Laboratorio di Fisica 1

---

Corso di Laurea Triennale in Fisica

Relazione di laboratorio

## PENDOLO DI KATER

13 Marzo 2023

Gruppo di lavoro n. 3:

Arnoldi Marta, m.arnoldi9@campus.unimib.it

Matricola 898938

Carminati Giovanni, g.carminati17@campus.unimib.it

Matricola 897462

Docente:

Prof. Marta Calvi

Anno Accademico 2022-2023

# Indice

<b>1</b>	<b>Obiettivi</b>	<b>2</b>
<b>2</b>	<b>Cenni teorici</b>	<b>2</b>
2.1	Pendolo di Kater . . . . .	2
2.2	Caduta libera . . . . .	2
<b>3</b>	<b>Apparato sperimentale e strumenti di misura</b>	<b>3</b>
3.1	Pendolo di Kater . . . . .	3
3.2	Caduta libera . . . . .	3
<b>4</b>	<b>Raccolta dati</b>	<b>4</b>
4.1	Pendolo di Kater . . . . .	4
4.1.1	Misurazioni di $T$ lungo tutta l'asta . . . . .	4
4.1.2	Misurazioni fitte di $T$ . . . . .	5
4.2	Caduta libera . . . . .	5
<b>5</b>	<b>Analisi Dati</b>	<b>6</b>
5.1	Misura di $T^*$ . . . . .	6
5.2	Stima di $g$ con Kater . . . . .	7
5.3	Stima di $g$ con caduta libera . . . . .	7
5.3.1	$h \propto t^2$ . . . . .	7
5.3.2	$h(t) = h_0 + \frac{1}{2}gt^2$ . . . . .	8
5.4	Compatibilità tra i valori di $g$ ottenuti . . . . .	8
<b>6</b>	<b>CONCLUSIONI</b>	<b>9</b>
<b>7</b>	<b>Appendice</b>	<b>9</b>
7.1	Propagazione esplicita dell'incertezza su $T^*$ . . . . .	9

# 1 Obiettivi

L'obiettivo di questo esperimento è quello di misurare l'accelerazione di gravità  $g$ . Questo può essere fatto mediante diverse modalità, quelle qui messe in atto sono: le oscillazioni di un pendolo fisico (il pendolo di Kater) e la caduta libera di palline di acciaio.

## 2 Cenni teorici

### 2.1 Pendolo di Kater

Il pendolo di Kater è un pendolo fisico, ovvero un pendolo che oscilla sospeso in due diversi punti (detti coltelli) non coincidenti con il suo baricentro. Il periodo del pendolo che oscilla sospeso nel punto 1 (per  $\theta \simeq \sin \theta$ ) è dato da:

$$T_1 = 2\pi\sqrt{\frac{l_1}{g}} = 2\pi\sqrt{\frac{I_1}{mgh_1}} \quad (1)$$

Con  $l_1$  lunghezza ridotta del pendolo,  $I_1$  momento di inerzia del pendolo (rispetto al coltello 1),  $m$  massa del pendolo,  $h_1$  distanza tra il coltello 1 e il baricentro.

Calcoliamo il momento di inerzia  $I_1$  applicando il teorema di Steiner all'inerzia dell'asta calcolato nel centro di massa:

$$I_1 = I_{asta} + mh_1^2 \quad (2)$$

Analogamente valgono le equazioni 1 e 2 per il pendolo sospeso nel coltello 2.

Nel caso in cui  $T_1 = T_2$  le lunghezze ridotte dei pendoli coincidono ( $l_1 = l_2$ ).

Vale allora la relazione:

$$D = h_1 + h_2 \quad T^* = 2\pi\sqrt{\frac{D}{g}} = 2\pi\sqrt{\frac{h_1 + h_2}{g}} \quad (3)$$

( $D$  è la distanza tra i due coltelli e nel nostro caso vale 99.4cm)

### 2.2 Caduta libera

Un corpo che cade sotto l'azione della forza peso si muove con accelerazione uniforme, pari all'accelerazione di gravità  $g$ .

Il moto uniformemente accelerato è descritto dalla legge oraria:

$$y(t) = y_0 + v_0t + \frac{1}{2}gt^2 \quad (4)$$

Nel nostro caso ponendo come verso positivo la direzione dell'accelerazione di gravità e lasciando cadere la sfera da ferma ( $v_0 = 0$ ) otteniamo la relazione:

$$h \propto t^2 \quad h = \frac{1}{2}gt^2 \quad (5)$$

Da cui misurando direttamente  $h$  e  $t$  ricaviamo il valore di  $g$ .

## 3 Apparato sperimentale e strumenti di misura

### 3.1 Pendolo di Kater

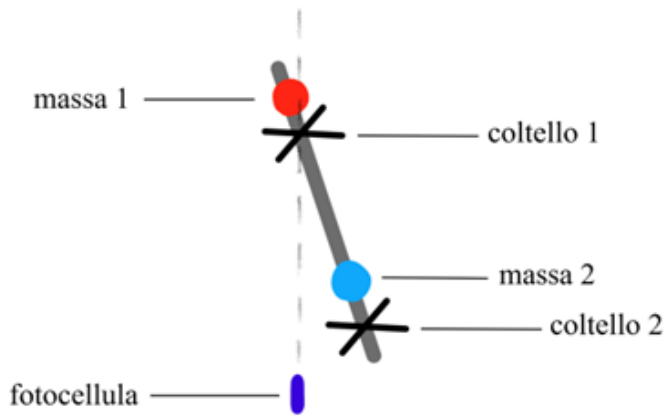


Figura 1: Pendolo di Kater

Il pendolo oscilla sull'asse del punto di sospensione, la posizione della *massa 1* viene mantenuta invariata mentre la *massa 2* viene "aggiustata" a ogni misurazione. Il pendolo viene poi ruotato e vincolato ad oscillare su un secondo punto di oscillazione posto all'estremità opposta dell'asta. Una fotocellula misura il periodo di oscillazione del pendolo  $T$ .

### 3.2 Caduta libera

Un supporto fissa la sfera ad un'altezza  $h$ . Azionando un interruttore la sfera viene fatta cadere, l'urto con la pedana sottostante arresta il cronometro.

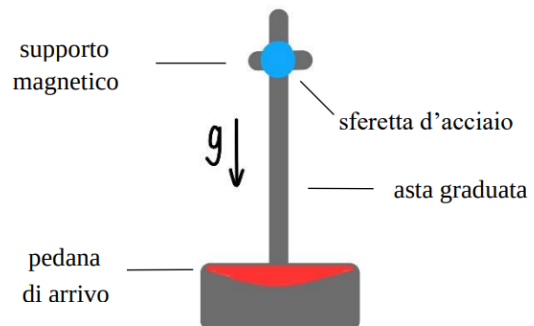


Figura 2: Caduta libera

## 4 Raccolta dati

### 4.1 Pendolo di Kater

Abbiamo fissato la posizione della *massa1* e compiuto diverse misurazioni del periodo variando la posizione della *massa2*. Il procedimento è stato ripetuto sospendendo l'asta sul secondo coltello.

#### 4.1.1 Misurazioni di $T$ lungo tutta l'asta

Abbiamo valutato il valore del periodo per tutta la lunghezza dell'asta, con misure distanziate 5cm.

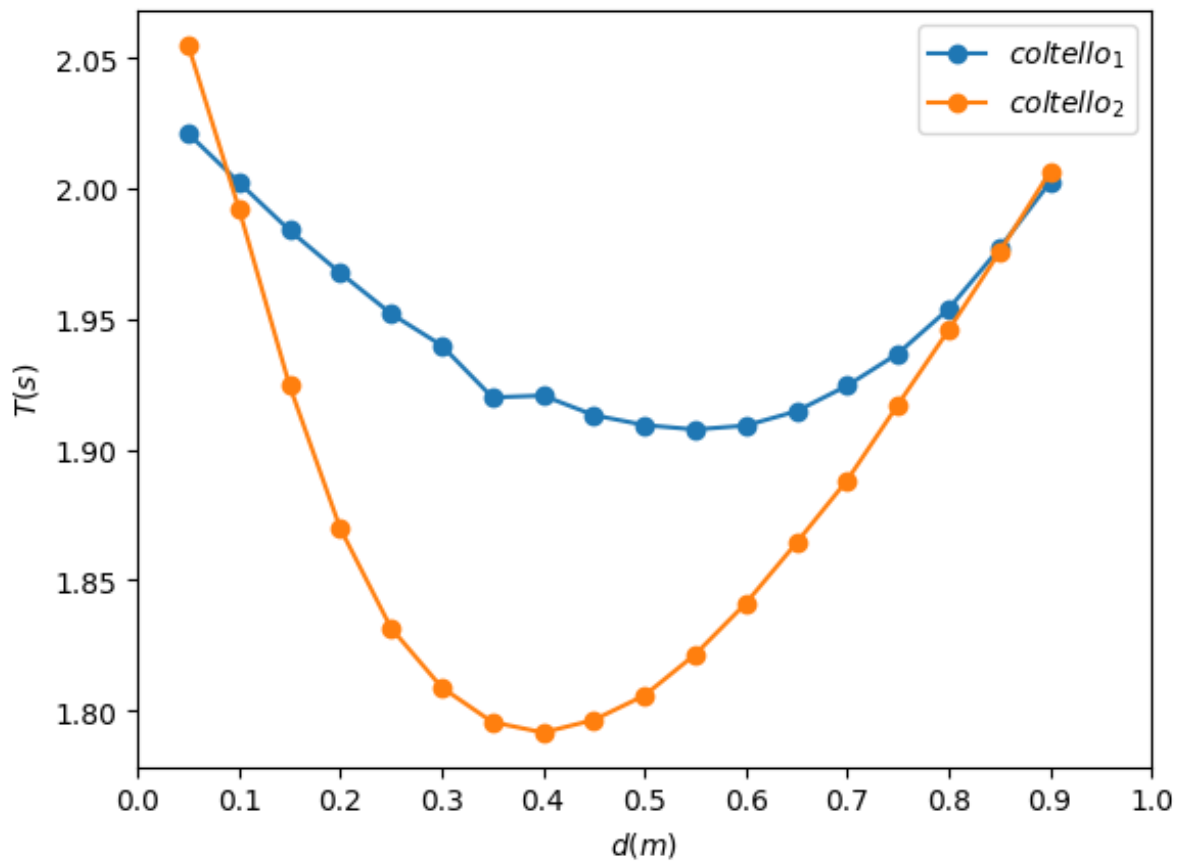


Figura 3:  $T(d)$ , compiute misurazioni per 18 lunghezze

Dove  $d$  indica la distanza della *massa2* dal *coltello1*.

I due punti di intersezione delle parabole indicano le posizioni di *massa2* per le quali  $T_1 = T_2 = T^*$ .

[Link CSV valori di  \$T\$  lungo l'asta](#)

### 4.1.2 Misurazioni fitte di $T$

Dopo aver scelto arbitrariamente un punto di intersezione delle due parabole (nel nostro caso l'intersezione nell'intorno di  $d = 0.1m$ ) abbiamo infittito le misure del periodo per entrambi i coltelli.

Con il metodo sperimentale precedentemente descritto abbiamo variato la distanza da 7 a 11 cm intervallando di 0.5cm.

Per ogni posizione la misurazione del periodo è stata ripetuta 4 volte.

$d(cm)$	7.00	7.50	8.00	8.50	9.00	9.50	10.00	10.50	11.00
$\bar{T}_1(s)$	2.0557	2.0511	2.0418	2.0305	2.0181	2.0109	2.0049	1.9950	1.9886
$\bar{T}_2(s)$	2.0133	2.0122	2.0112	2.0087	2.0066	2.0038	2.0025	2.0013	1.9995

**Tabella 1:** Valori medi del periodo di oscillazione del pendolo a distanza  $d$

[Link CSV valori di  \$T\$  nell'intorno dell'intersezione delle parabole](#)

## 4.2 Caduta libera

Per le misurazioni del tempo di caduta ( $t$ ) ci siamo serviti dell'apparato rappresentato nella Figura 2. Facendo scorrere il supporto magnetico lungo l'asta graduata abbiamo fissato il valore dell'altezza  $h$ . Successivamente, grazie a un interruttore, abbiamo sganciato la sfera dal supporto facendola cadere sulla pedana. L'apparato è dotato di un cronometro che misura il tempo di caduta della sfera.

Abbiamo ripetuto 10 misurazioni per 13 diverse altezze:

$h(cm)$	10	15	20	25	30	35			
$\bar{t}(s)$	128.55	156.91	182.27	204.36	224.64	244.00			
	40	45	50	55	60	65	70		
	262.36	276.00	292.91	307.09	322.09	335.18	345.64		

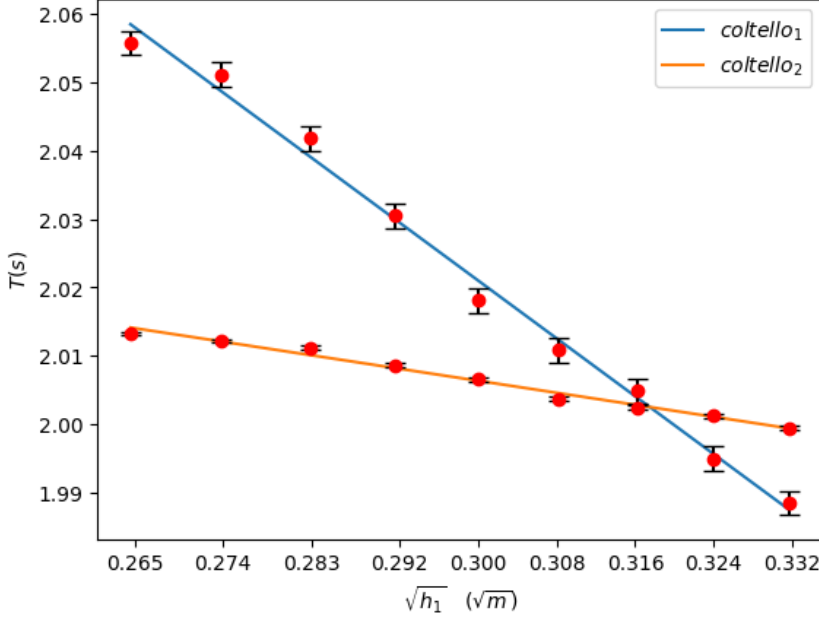
**Tabella 2:** Valore  $t$  medi di caduta per ogni  $h$

[Link CSV valori dei tempi di caduta della sfera](#)

## 5 Analisi Dati

### 5.1 Misura di $T^*$

Per trovare il valore migliore di  $T^*$  consideriamo l'intorno dei punti prossimi all'intersezione delle parabole sfruttando la relazione  $T \propto \sqrt{h}$ :



$A + Bx$	coltello1	coltello2
$A$	2.34	2.07
$B$	-1.06	-0.22
$\sigma_A$	0.01	0.01
$\sigma_B$	0.04	0.01
$\sigma_y$	<b>0.00178</b>	<b>0.00029</b>

Tabella 3: interpolazione

Figura 4: Misure fitte di  $T$  nell'intorno dell'intersezione delle parabole

L'ordinata del punto di intersezione delle rette è il  $T^*$ .

Le incertezze sui valori misurati di  $T^*$  sono ottenute con il metodo dei minimi quadrati pesati usando come pesi  $w = 1/\sigma_{T_{misurato}}^2$ . Per calcolare  $T^*$  usiamo l'equazione:

$$T^* = \frac{T_2(x_a)T_1(x_b) - T_1(x_a)T_2(x_b)}{T_1(x_b) - T_2(x_b) - T_1(x_a) + T_2(x_a)} \quad (6)$$

Dove  $x_a$  e  $x_b$  sono i punti più prossimi all'intersezione.

Per la stima dell'errore  $\sigma_{T^*}$  propaghiamo nel seguente modo:

$$\sigma_{T^*} = \sqrt{\left(\frac{\partial T}{\partial a}\right)^2 \sigma_a^2 + \left(\frac{\partial T}{\partial b}\right)^2 \sigma_b^2 + \left(\frac{\partial T}{\partial c}\right)^2 \sigma_c^2 + \left(\frac{\partial T}{\partial d}\right)^2 \sigma_d^2} \quad (7)$$

Dove  $a = T_1(x_a)$   $c = T_1(x_b)$   $b = T_2(x_a)$   $d = T_2(x_b)$ ; per brevità lasciamo i conti espliciti dell'errore in appendice.

Otteniamo  $T^* = 2.0026 \pm 0.0019s$

## 5.2 Stima di $g$ con Kater

Dall'Equazione 3 e assumendo  $D = 0.994m$  ricaviamo il valore di  $g$ :

$$T = 2\pi\sqrt{\frac{D}{g}} \Rightarrow g = \frac{4\pi^2 D}{T^2} \quad \sigma_g = \left| -8\pi^2 D \right| \frac{\sigma_T}{T^3} \quad (8)$$

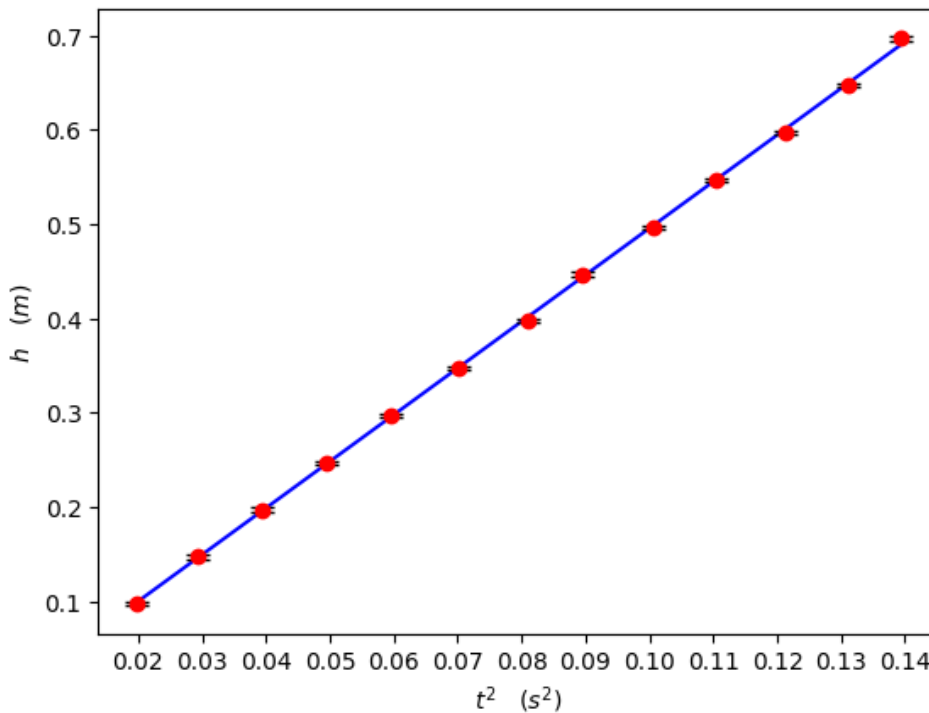
otteniamo:  $g_{kater} = (9.7849 \pm 0.0186)ms^{-2}$

## 5.3 Stima di $g$ con caduta libera

L'asta è graduata a intervalli di 5cm, assumiamo l'incertezza dovuta allo strumento di misura  $\sigma_{h_{strumento}} = 0.001m$ .

La media degli errori relativi dell'altezza (0.0070) è maggiore rispetto a quella del tempo di caduta (0.0039), nell'interpolazione mettiamo quindi  $t$  nelle ascisse e  $h$  nelle ordinate.

### 5.3.1 $h \propto t^2$



$A$	0.0009
$B$	4.9470
$\sigma_A$	0.0026
$\sigma_B$	0.0285
$\sigma_y$	0.002
$\tilde{\chi}_0^2$	2.77
$df$	11
$pvalue$	99.3%

Tabella 4:  $h = A + Bt^2$

Figura 5: Interpolazione con  $h \propto t^2$

Ricaviamo il valore di  $g$  dall'Equazione 5:

$$h = \frac{1}{2}gt^2 \Rightarrow B = \frac{1}{2}g \Rightarrow g = 2B \quad \sigma_{g_{caduta}} = 2\sigma_B$$

Otteniamo:  $g_{caduta} = (9.8942 \pm 0.0577)ms^{-2}$

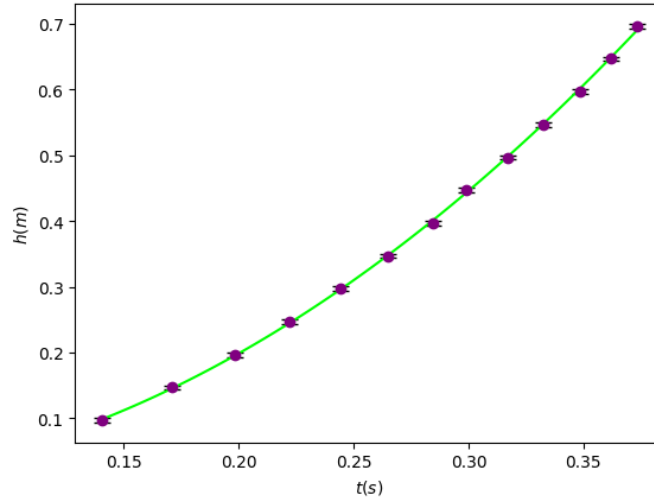


### 5.3.2 $h(t) = h_0 + \frac{1}{2}gt^2$

Con la funzione `scipy.optimize.curve_fit` interpoliamo la parabola che si ottiene nel grafico  $h(t)$

$h_0$	0.0009
$g$	9.894
$\sigma_{h_0}$	0.0026
$\sigma_g$	0.058
$\sigma_y$	0.0033

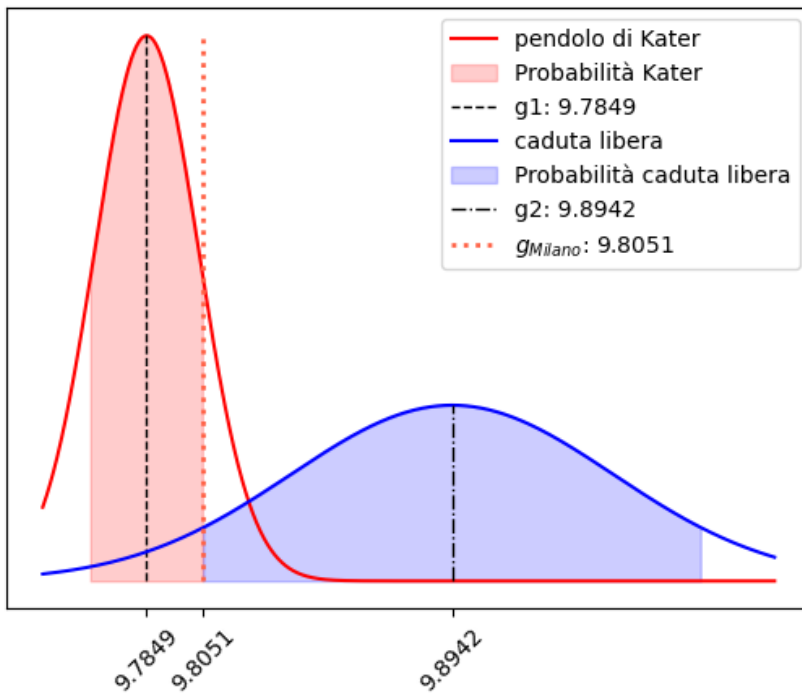
**Tabella 5:** valori interpolazione parabola



**Figura 6:** Interpolazione con  $h = h_0 + \frac{1}{2}gt^2$

Otteniamo valori  $g$  e  $\sigma_g$  in accordo con la relazione precedente.

## 5.4 Compatibilità tra i valori di $g$ ottenuti



**Figura 7:** Accordo con valore di  $g$  atteso (Milano)

	<i>kater</i>	<i>caduta</i>
$E\%$	0.19%	0.58%
$t - test$	1.09	1.54
$pvalue$	28%	12%

**Tabella 6:** Valori compatibilità

La compatibilità tra i due metodi sperimentali vale  $t = 1.08$ ,  $pvalue = 7\%$

## 6 CONCLUSIONI

I valori misurati di  $g$  sono in accordo con il valore atteso a Milano ( $g_{Milano} = 9.8051 ms^{-2}$ ), la compatibilità supera la soglia minima di accettazione del 5%.

Qui sotto riportata la tabella riassuntiva dei valori ottenuti:

	$g$	$\sigma_g$	$E\%$	t-test	p-value
Pendolo di Kater	9.7849	0.0186	0.19%	1.09	28%
Caduta libera	9.8942	0.0577	0.58%	1.54	12%

**Tabella 7:** Tabella riassuntiva

Osserviamo che il valore ottenuto con il pendolo di Kater è più vicino e più compatibile al  $g_{Milano}$  rispetto alla misurazione con la caduta libera.

La compatibilità tra i risultati delle differenti esperienze è del 7%.

Concludiamo con il valore di  $\bar{g}$  medio:

$$\bar{g} = \frac{\frac{1}{\sigma_{gk}^2} g_k + \frac{1}{\sigma_{gcl}^2} g_{cl}}{\frac{1}{\sigma_{gk}^2} + \frac{1}{\sigma_{gcl}^2}} = 9.7952 \quad \sigma_g = \frac{1}{\sqrt{\frac{1}{\sigma_{gk}^2} + \frac{1}{\sigma_{gcl}^2}}} = 0.0177$$

Otteniamo:  $\bar{g} = 9.7952 \pm 0.0177 \text{ ms}^{-2}$ .

## 7 Appendice

Link per codice python e CSV:

[https://github.com/heyJOe03/fisicaRELAZIONI/tree/main/04\\_KATER](https://github.com/heyJOe03/fisicaRELAZIONI/tree/main/04_KATER)

### 7.1 Propagazione esplicita dell'incertezza su $T^*$

Rinominiamo per comodità le variabili come nell'Equazione 7 ottenendo:

$$T^* = \frac{bc - ad}{c - d - a + b} \quad f = bc - ad \quad g = c - d - a + b$$

$$\frac{\partial T^*}{\partial a} = \frac{f - dg}{g^2} \quad \frac{\partial T^*}{\partial b} = \frac{cg - f}{g^2}$$

$$\frac{\partial T^*}{\partial c} = \frac{bg - f}{g^2} \quad \frac{\partial T^*}{\partial d} = \frac{f - ag}{g^2}$$